

## 2 Метод перевала

### 2.1 Вещественный случай

Метод перевала для вещественных интегралов (а.к.а метод Лапласа) позволяет получить асимптотические разложения интегралов вида

$$I(\lambda) = \int e^{f(x;\lambda)} g(x) dx, \quad (2.1)$$

при  $\lambda \rightarrow +\infty$ , если функция  $f(x)$  имеет параметрически резкий максимум на отрезке интегрирования, а  $g(x)$  меняется сравнительно медленно.<sup>1</sup> Для простоты буду считать, что  $f(x; \lambda) = \lambda f(x)$ .

В пределе  $\lambda \rightarrow +\infty$  значение подынтегральной функции вблизи максимума  $|x - x_0| < 1/\sqrt{\lambda}$  экспоненциально превалирует над остальным контуром интегрирования.

$$\left| I(\lambda) - \int_{O(x_0)} g(x) e^{\lambda f(x)} dx \right| \ll e^{\lambda f(x_0)}, \quad \lambda \rightarrow +\infty.$$

Внутри маленького интервала  $(x_0 - 1/\sqrt{\lambda}, x_0 + 1/\sqrt{\lambda})$  подынтегральные функции могут быть приближены своими разложениями в ряд Тейлора, а пределы интегрирования могут быть распространены до бесконечных с точностью до экспоненциально малых поправок, что приводит к

$$I(\lambda) \approx \int_{-\infty}^{\infty} e^{\lambda f(x_0) - \frac{1}{2}\lambda |f''(x_0)|x^2} \left( 1 + \lambda \frac{f^{(3)}(x_0)}{3!} x^3 + \dots \right) (g(x_0) + g'(x_0)x + \dots) dx$$

Гауссовы интегралы легко вычисляются. В результате получается асимптотическое равенство.

$$I(\lambda \rightarrow +\infty) = \sqrt{\frac{2\pi}{\lambda |f''(x_0)|}} e^{\lambda f(x_0)} g(x_0) \left( 1 + \frac{f^{(3)}(x_0)g'(x_0)}{2g(x_0)\lambda} + \frac{f^{(4)}(x_0)}{8\lambda} + \frac{g''(x_0)/g(x_0)}{2|f''(x_0)|\lambda} + \mathcal{O}\left(\frac{1}{\lambda^{\frac{3}{2}}}\right) \right). \quad (2.2)$$

В случае когда максимум функции  $f(x)$  достигается на конце отрезка, аналогично, выполнено

$$\begin{aligned} \int_a^a e^{\lambda f(x)} g(x) dx &\approx e^{\lambda f(a)} \int^0 e^{\lambda f'(a)x} \left( 1 + \frac{f''(a)}{2} x + \dots \right) (g(a) + g'(a)x + \dots) dx \\ &= e^{\lambda f(a)} \left[ \frac{g(a)}{f'(a)} \frac{1}{\lambda} + \frac{g(a)f''(a) - g'(a)f'(a)}{(f'(a))^3} \frac{1}{\lambda^2} + \mathcal{O}\left(\frac{1}{\lambda^3}\right) \right], \quad \lambda \rightarrow +\infty. \end{aligned} \quad (2.3)$$

Здесь я предположил, что  $f'(a) \neq 0$ . Если же  $f'(a) = 0$ , но  $f''(a) \neq 0$ , то краевой вклад выражается гауссовым интегралом (об интерполяции между двумя пределами смотри ниже)

**Упражнение 2.1.** Доказать формулу  $\int_{-\infty}^{\infty} e^{-x^2/2} x^{2n} dx = (2n - 1)!! \sqrt{2\pi}$ .

**Пример 2.1.** Рассмотрим следующий интеграл в пределе  $\lambda \rightarrow +\infty$ .

$$\mathcal{I}(\lambda) = \int_{-\infty}^{\infty} e^{-\lambda x^2/2 - x^4/4} dx.$$

Он в точности имеет вид (2.1), согласно общей схеме

$$\mathcal{I}(\lambda) = \int_{-\infty}^{\infty} e^{-x^2/2} \sum_{k=0}^{\infty} \frac{(-)^k x^{4k}}{(2\lambda)^{2k} k!} \frac{dx}{\sqrt{\lambda}} \sim \sqrt{\frac{2\pi}{\lambda}} \sum_{k=0}^{\infty} \frac{(-)^k (4k - 1)!!}{(2\lambda)^{2k} k!}, \quad \lambda \rightarrow +\infty.$$

В данном случае интервал интегрирования совпадает с областью сходимости ряда Тейлора подынтегральной функции, и всё же получившийся ряд для  $\mathcal{I}(\lambda)$  имеет нулевой радиус сходимости — это асимптотический ряд.

<sup>1</sup>Формальное обоснование метода перевала может быть найдено в книге [7], здесь я привожу изложение на физическом уровне строгости.

**Пример 2.2.** Рассмотрим тот же интеграл, что и в предыдущем примере при  $\lambda = -\mu \rightarrow -\infty$ . Формально он примет вид (2.1) только после замены  $x \mapsto \sqrt{\mu}x$ , однако удобнее производить разложения, не совершая перемасштабирование.

$$\mathcal{I}(-\mu) = \int_{-\infty}^{\infty} e^{\mu x^2/2 - x^4/4} dx.$$

В этом случае экспонента имеет максимумы при  $x = \pm\sqrt{\mu}$ . При  $\mu \rightarrow +\infty$ ,

$$\mathcal{I}(-\mu) \sim \sum_{\pm} e^{\frac{\mu^2}{4}} \int_{-\infty}^{\infty} e^{-\mu x^2} \left( 1 \pm \sqrt{\mu}x^3 - \frac{x^4}{4} + \dots \right) dx = 2\sqrt{\frac{\pi}{\mu}} e^{\frac{\mu^2}{4}} \left( 1 + \frac{3}{4\mu^2} + \mathcal{O}\left(\frac{1}{\mu^4}\right) \right).$$

Важно отметить, что для получения члена разложения порядка  $\mu^{-2}$  понадобились первый член разложения  $e^{-x^4/4}$  и второй член  $e^{\mp\sqrt{\mu}x}$ , поскольку они дают вклад одного порядка по  $\mu$ .

**Упражнение 2.2.** Найти лидирующий член асимптотики

$$\int_0^{\pi/2} \cos^n x dx, \quad n \rightarrow +\infty.$$

**Феномен Стокса** Предположу, что исследуемый интеграл

$$\int_a^{\infty} e^{\lambda f(x)} dx$$

набирается на нижнем пределе  $x = a$  и зависит от параметра, при некоторых значениях которого,  $f'(a) = 0$  обращается в ноль. Тогда при нахождении асимптотики  $\lambda \rightarrow +\infty$  имеется несколько сценариев. При  $f'(a)/f''(a) \gg 1/\sqrt{\lambda}$  главным является линейный член разложения и асимптотика определяется формулой (2.3), когда  $f'(a)/f''(a) \ll 1/\sqrt{\lambda}$  можно пренебречь первой производной и заработать (полу)гауссов интеграл. Если же  $f'(a) > 0$  и максимум  $f(x)$  полностью помещается внутри интервала интегрирования имеется обычный перевальный вклад (2.2).

В термодинамическом пределе  $\lambda \rightarrow \infty$  рассмотренные сценарий в точности отвечают случаям  $f'(a) < 0$ ,  $f'(a) = 0$ ,  $f'(a) > 0$ . Получается, что асимптотическое поведение функции меняется скачком при конечном шевелении параметров. Данное поведение асимптотических разложений носит название *феномен Стокса*. В действительности, при любом конечном  $\lambda$  указанное изменение происходит плавно на масштабе  $1/\sqrt{\lambda}$  и может быть описано функцией ошибок. Пусть  $\alpha = f'(a)/f''(a)$ , тогда исследуемый интеграл приводится к виду

$$\int_{\alpha}^{+\infty} e^{-\lambda x^2/2} dx = \frac{1}{2} \sqrt{\frac{2\pi}{\lambda}} \left[ 1 - \operatorname{erf} \left( \sqrt{\frac{\lambda}{2}} \alpha \right) \right] \underset{\lambda \gg 1}{\approx} \frac{1}{2} \sqrt{\frac{2\pi}{\lambda}} + \begin{cases} \frac{-1}{2} \sqrt{\frac{2\pi}{\lambda}} + \frac{e^{-\lambda\alpha^2/2}}{\lambda\alpha}, & \alpha\sqrt{\lambda} \rightarrow +\infty, \\ \alpha - \lambda\alpha^3/6, & |\alpha| \ll 1/\sqrt{\lambda}, \\ \frac{1}{2} \sqrt{\frac{2\pi}{\lambda}} + \frac{e^{-\lambda\alpha^2/2}}{\lambda\alpha}, & \alpha\sqrt{\lambda} \rightarrow -\infty. \end{cases}$$

**Упражнение 2.3.** Аналитически продолжить гауссов интеграл как функцию параметра  $z$  с вещественной положительной полуоси на все  $z \in \mathbb{C} \setminus \{0\}$ .

$$\int_{-\infty}^{\infty} e^{-zx^2/2} dx, \quad \operatorname{Re} z > 0.$$

## 2.2 Метод перевала

Рассмотрю вопрос об асимптотическом поведении экспоненциальных интегралов с точки зрения теории функций комплексного переменного. Модельным является интеграл вида

$$I(\lambda) = \int_C e^{\lambda f(z)} g(z) dz, \quad \lambda \rightarrow +\infty. \tag{2.4}$$

Для краткости ниже положу  $g \equiv 1$ , поскольку главную роль играет экспонента.

**Рассуждения** Попытаюсь свести задачу к уже рассмотренному вещественному случаю.

$$\operatorname{Re} I(\lambda) = \int_C e^{\lambda \operatorname{Re} f(z)} [\cos(\lambda \operatorname{Im} f(z)) dx - \sin(\lambda \operatorname{Im} f(z)) dy].$$

Пусть  $\operatorname{Re} f(z)$  имеет максимум в точке  $z_0 \in C$ , тогда, казалось бы, интеграл должен набираться вблизи  $z_0$ , но это неверно при наличии быстрых осцилляций  $\cos(\lambda \operatorname{Im} f(z))$ . Если  $\operatorname{Im} f'(z_0) \neq 0$ , то в области влияния точки экстремума  $|z - z_0| \sim 1/\sqrt{\lambda}$  синус совершает порядка  $\sqrt{\lambda} \gg 1$  колебаний, которые эффективно усредняют вклад от точки максимума в ноль.

Оказывается, что указанную проблему можно обойти, используя теорию функции комплексного переменного. Мне понадобятся следующие утверждения:

1. Значение интеграла (2.4) не изменяется при деформациях контура  $C$ , оставляющих граничные точки неподвижными и проходящих через особенности подынтегральной функции.
2. Линии наиболее быстрого изменения  $\operatorname{Re} f(z)$  регулярной функции  $f(z)$  являются линиями постоянства  $\operatorname{Im} f(z)$  и наоборот<sup>2</sup>. Другими словами, градиенты  $\nabla \operatorname{Re} f(x, y) \perp \nabla \operatorname{Im} f(x, y)$ .

Допустим, что я смог деформировать контур таким образом, что  $e^{f(z)}$  имеет постоянную фазу, т. е. такой на котором  $\operatorname{Im} f(z) = \operatorname{const}$ . Тогда я свёл задачу к вещественному случаю. Осталось найти на этом контуре точку максимума  $\operatorname{Re} f(z)$ . Оказывается, она совпадает с экстремумом  $f(z)$ . Действительно, постоянство фазы и условие экстремальности  $\operatorname{Re} f$  вдоль контура означают  $\nabla \operatorname{Im} f(z) \perp \boldsymbol{\tau}$ ,  $\nabla \operatorname{Re} f(z) \perp \boldsymbol{\tau}$ , где  $\boldsymbol{\tau}$  — касательная к контуру. Следовательно,  $|\nabla \operatorname{Re} f| = 0$  или  $|\nabla \operatorname{Im} f| = 0$ , что в силу условий Коши–Римана эквивалентно друг другу и требованию  $f'(z_0) = 0$ .

Теперь ясно как найти правильный контур — достаточно потребовать, чтобы он проходил через экстремальные точки  $f'(z) = 0$  в направлении наискорейшего спада.

В окрестности экстремальной точки функцию можно приблизить разложением

$$f(z) = f(z_0) + \frac{f''(z_0)}{2}(z - z_0)^2. \quad \begin{aligned} \operatorname{Re} \Delta f &= \left| \frac{f''(z_0)}{2} \right| |\Delta z|^2 \cos(2\varphi + \alpha), \\ \operatorname{Im} \Delta f &= \left| \frac{f''(z_0)}{2} \right| |\Delta z|^2 \sin(2\varphi + \alpha), \end{aligned}$$

где  $\varphi = \arg z$ ,  $\alpha = \arg f''(z_0)$ . Видно, что направление  $2\varphi + \alpha = 0, \pi$  отвечающее наискорейшему изменению  $\operatorname{Re} f$  является линией постоянства  $\operatorname{Im} f$ . Значит для функций  $\operatorname{Re} f$  и для  $\operatorname{Im} f$  экстремальная точка  $f(z)$  является седловой, а искомый контур отвечает перевальному маршруту через хребет наискорейшего роста  $\operatorname{Re} f$ .

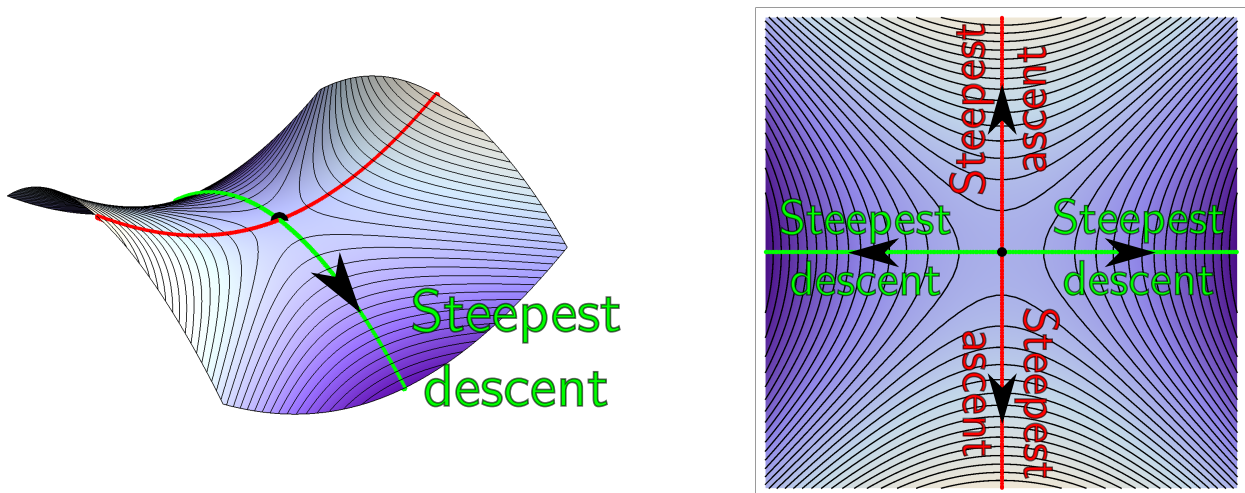


Рис. 2.1: Карта Стокса функции  $f = -z^2$  в комплексной плоскости переменной  $z$ . Тон фона отображает значение  $\operatorname{Re}(-z^2)$ , а чёрные кривые — линии постоянного уровня.

<sup>2</sup>Это легко видеть при помощи условий Коши–Римана  $\partial_x \operatorname{Re} f = \partial_y \operatorname{Im} f$ ,  $\partial_x \operatorname{Im} f = -\partial_y \operatorname{Re} f$

**Алгоритм метода перевала** Распишу по пунктам алгоритм применения метода перевала на примере уже знакомой функции  $\mathcal{I}(\lambda)$  при  $|\lambda| \rightarrow \infty$  и произвольном  $\arg \lambda$ .

$$\mathcal{I}(\lambda) = \int_{-\infty}^{\infty} e^{f(z)} dx, \quad f(z) = -\lambda \frac{z^2}{2} - \frac{z^4}{4}, \quad (2.5)$$

1. Найти все перевальные точки из условия  $f'(z_0) = 0$  и значения экспоненты в них  $f(z_0)$ .  
 $\mapsto$  В данном случае это  $z_0 = 0$  и  $z_{\pm} = \pm i\sqrt{\lambda}$ . Седловые высоты  $f(z_0) = 0$ ,  $f(z_{\pm}) = \lambda^2/4$ .
2. В окрестности каждой перевальной точки нарисовать линии наискорейшего спуска, определяемые условием  $f''(z_0)\Delta z^2 < 0$ .  
 $\mapsto f''(z_0) = -\lambda \Rightarrow \varphi_0 = -\frac{1}{2} \arg \lambda$  или  $\varphi_0 = \pi - \frac{1}{2} \arg \lambda$ .  
 $\mapsto f''(z_{\pm}) = 2\lambda \Rightarrow \varphi_{\pm} = \frac{\pi}{2} - \frac{1}{2} \arg \lambda$  или  $\varphi_{\pm} = -\frac{\pi}{2} - \frac{1}{2} \arg \lambda$
3. Деформировать контур так, чтобы он состоял из линий постоянной фазы. Учесть вычеты.  
 $\mapsto$  Верная деформация контура зависит от  $\arg \lambda$  (см. рис. 2.2).
4. Просуммировать вклады краевых точек и причастных перевальных точек.

$$I \sim \frac{e^{f(b)}}{f'(b)} - \frac{e^{f(a)}}{f'(a)} + \sum_i \sqrt{\frac{2\pi}{|f''(z_i)|}} e^{i\varphi_i} e^{f(z_i)}.$$

$\mapsto$  Вклады концевых точек отсутствует. При  $|\arg \lambda| < \frac{\pi}{2}$  подходящие линии наискорейшего спуска захватывают только перевал  $z = 0$ . При  $\frac{\pi}{2} < |\arg \lambda| \leq \pi$  контур проходит через все три перевала по линиям  $J_+$ ,  $J_0$ ,  $J_-$ . При  $|\arg \lambda| = \frac{3\pi}{4}$  вклад  $z_0$  и седел  $z_{\pm}$  сравниваются по величине, а при  $\frac{3\pi}{4} < |\arg \lambda| \leq \pi$  вклады  $z_{\pm}$  доминируют. В итоге, при  $|\lambda| \rightarrow +\infty$

$$\mathcal{I}(\lambda) \sim \sqrt{\frac{2\pi}{\lambda}} \sum_{k=0}^{\infty} \frac{(4k-1)!!}{(2i\lambda)^{2k} k!}, \quad |\arg \lambda| < \frac{\pi}{2},$$

$$\mathcal{I}(\lambda) = \sqrt{\frac{2\pi}{\lambda}} \sum_{k=0}^{k_{\text{opt}}} \frac{(4k-1)!!}{(2i\lambda)^{2k} k!} + 2\sqrt{\frac{\pi}{-\lambda}} e^{\frac{\lambda^2}{4}}, \quad \frac{\pi}{2} < |\arg \lambda| \leq \pi.$$

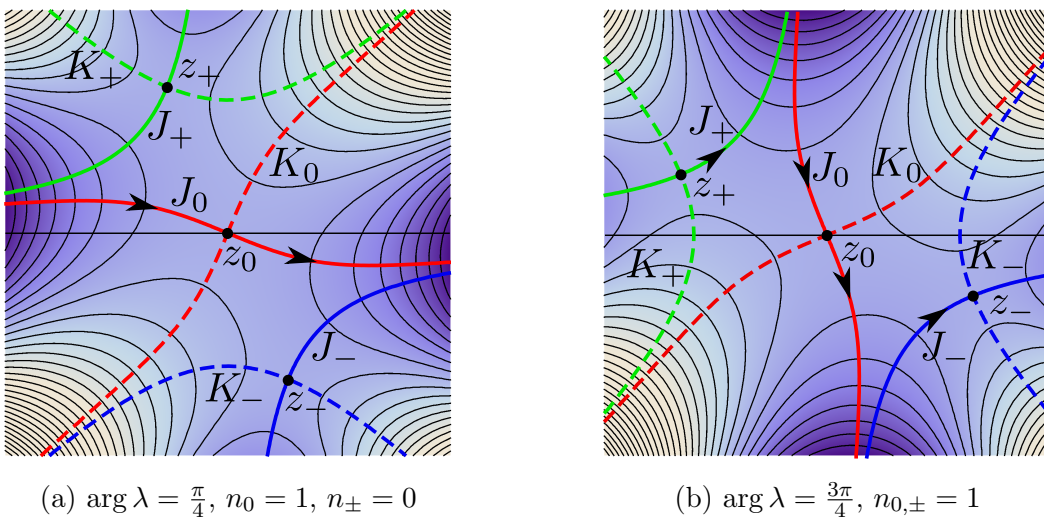


Рис. 2.2: Карта Стокса для экспоненты (2.5). Линии наискорейшего спуска  $J_0, J_{\pm}$  нарисовано сплошным, наискорейшего подъема  $K_0, K_{\pm}$  — пунктиром.

Налицо ещё одно проявление феномена Стокса: в асимптотике  $\mathcal{I}(\lambda)$  «появляется» новая экспонента при прохождении  $\arg \lambda$  через  $\pm \frac{\pi}{2}$ . В точности при  $|\arg \lambda| = \frac{\pi}{2}$  линия наискорейшего спуска  $J_0$  совпадает с  $K_{\pm}$ , что приводит к тому, что вклады от перевалов  $z_{\pm}$  приобретают коэффициент  $\frac{1}{2}$ .

### 2.2.1 Уравнения Пикарда–Лефшетца

Красота метода перевала заключается в исследовании «топологической» структуры линий постоянства фазы и поиске правильного контура, что не всегда бывает просто. Однако, существует метод автоматизации процедуры поиска контура. Рассмотрим интеграл

$$I(\lambda) = \int_a^b e^{i\lambda S(z)} dz, \quad \lambda \rightarrow +\infty, \quad (2.6)$$

и нарисую из каждой точки исходного контура линии  $z(t)$  наискорейшего спуска  $\text{Im } S(z)$ . Это будут линии постоянства  $\text{Re } S(z) = \text{Re } S(z_0)$ , или, точнее, решения локального уравнения

$$\dot{z} = \pm i \cdot \overline{S'(z)}, \quad z(0) = z_0, \quad (2.7)$$

где «+» отвечает линии спуска, а знак «−» — линии подъёма. Действительно, для регулярной функции  $\partial_{\bar{z}} S = 0$  решения (2.7) удовлетворяют  $\frac{d}{dt} \text{Re } S(z(t)) = 0$ .

Обозначу через  $D$  — множество решений  $z(t)$ , начинающихся на исходном контуре  $z_0 \in [a, b]$ . Огибающая  $\partial D$  всех таких линий наискорейшего спуска также состоит из линий постоянной фазы. Естественно, что решения  $z(t)$ , стартующие из краевых точек  $a, b$  принадлежат искомому контуру, когда остальные части границы множества  $\partial D$  показывают правильный путь, соединяющий правые и левые концы  $z(t; a), z(t; b)$ . Причём данные линий автоматически проходят через седловые точки и другие сингулярности в точности по линиям постоянства фазы, значит  $\partial D$  и является искомой деформацией контура.

**Пример 2.3.** Рассмотрим интеграл (2.6) с действием  $S(z) = z + \frac{z^3}{3}$  и концами  $a = -1, b = 1$ . Его асимптотическое поведение при  $\lambda \rightarrow +\infty$  определяется концевыми вкладами. Однако, также имеется экспоненциально малый вклад от седловой точки  $z = i$ , что приводит к

$$I(\lambda) = \left[ \frac{1}{\lambda} - \frac{1}{2\lambda^3} + \mathcal{O}\left(\frac{1}{\lambda^5}\right) \right] \sin \frac{4\lambda}{3} - \left[ \frac{1}{2\lambda^2} - \frac{5}{8\lambda^4} + \mathcal{O}\left(\frac{1}{\lambda^6}\right) \right] \cos \frac{4\lambda}{3} + \frac{2\pi}{\lambda^{1/3}} \text{Ai}(\lambda^{2/3}), \quad \lambda \rightarrow +\infty.$$

Чтобы найти верную деформацию контура решу уравнения Пикарда–Лефшеца

$$(\dot{x}, \dot{y}) = \nabla \text{Im} (z^3/3 + z).$$

Семейство решений представлено на рис. 2.3. Граница  $\partial D$  в точности даёт искомый контур.

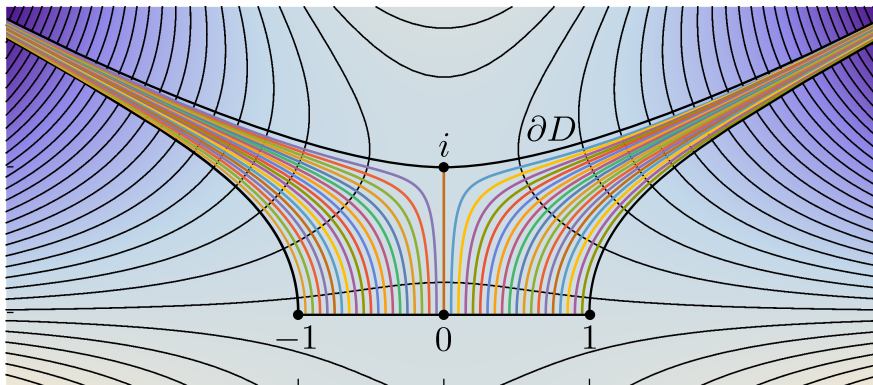


Рис. 2.3: Решения уравнений Пикарда–Лефшеца для действия  $S(z) = z + \frac{z^3}{3}$ , стартующие из отрезка  $[-1, 1]$ . Черными линиями указана огибающая  $\partial D$ . Тон фона показывает значение  $\text{Re } iS(z)$ , изогипсы указывают на то, что  $z = i$  — седловая точка.

**Пример 2.4.** Для функции  $\mathcal{I}(\lambda)$  уравнения Пикарда–Лефшетца примут вид

$$\begin{aligned} J_\sigma : \quad \dot{z} + \overline{f'(z)} &= 0, & z(-\infty) &= z_\sigma, \\ K_\sigma : \quad \dot{z} - \overline{f'(z)} &= 0, & z(-\infty) &= z_\sigma, \end{aligned} \quad f(z) = -\lambda \frac{z^2}{2} - \frac{z^4}{4}.$$

Их решения проходящие через сёдла указаны на рис. 2.2. Видно, что седло является релевантным тогда и только тогда, когда соответствующая линия  $K$  пересекает исходный контур  $(-\infty, \infty)$ .